

日本工大生産工学部 正会員 遠藤茂勝  
三浦晃

### 1.はじめに

進行波が防波堤のような構造物に入射して、波動エネルギーの一部が反射して、もどる場合、構造物附近には、入射波と反射波による合成波が生ずる。その時の波の入射面が鉛直壁と合成波が無規則状態の時には完全重複波となり、張中は入射波の約2倍となる。しかし、波の入射面が、傾斜面である場合や、鉛直壁面ごと高波を伴う場合には、波エネルギーの分散のため合成波は、完全重複波とはならず、この時に部分重複波となる。この波は、進合波と、完全重複波との中間的な性質を有する波であるため、張中が対波の割合をなめらか、反射の割合によって変動するので、部分重複波の張中における波形を把握することは難易度高い。

そこで、本文では、合成波が鉛直壁を破壊する時に鉛直壁面に生ずる部分重複波の波峰水位に関する実験結果をもとに、部分重複波の空洞波形について検討するとともに、その波峰水位を有する部分重複波の空間波形から算定される越波量および越波量係数について検討したものである。

### 2.部分重複波のうろあげ高および波形

#### 1)部分重複波のうろあげ高

静水面と基準として部分重複波の峰までの高さを、ここではうろあげ高とし、また、峯から谷までの溝中の波高とすれば、うろあげ高  $\eta_0$  および、波高  $H_{0a}$  とともに、越波が生じる範囲内では、天端高の増大とともに、増大し、越波に至るまでこの傾向は持続される。この過程は、図-1に示した実験結果にみられるところであるが、うろあげ高よりの波高の増大は天端高の増大に比してゆるやかな傾向を示している。そして、部分重複波の波長の入射波の波長に対する変動および空洞波形を仮定することによっては、越波量を算出することができますのと併せて検討する。

#### 2)部分重複波の波形

鉛直壁面に沿う部分重複波のうろあげ高は、鉛直壁の静水面上の高さに支配されるから、いま空洞を次の

ように、図-1に示すようにX軸を静水面上にとり、鉛直上向きにY軸をとるとすれば、部分重複波の波形は次式で表される。すなまく、

$$\eta = \alpha H_i \cos kx + \beta \eta_0 \quad \dots \dots \dots (1)$$

ここで  $\alpha$  は静水面上の鉛直壁の高さで、物理学者は負で定まる係数で、 $k = 2\pi/L$  は部分重複波の波長であるが、ニコラスは慣例的に入射波の波長を考へる。

一方、完全重複波および部分重複波のうろあげ高に関する研究結果<sup>1)</sup>から静水面上の天端高とうろあげ高の関係は次式で示される。

$$\frac{\eta_0}{\eta_m} = 0.65 + 0.35 \frac{H_c}{\eta_m} \quad \dots \dots \dots (2)$$

ここで  $\eta_m$  は、完全重複波のうろあげ高を示す、そして、ここに示される完全重複波のうろあげ高  $\eta_m$  は、実験的に次のよう示される。

$$\eta_m = H_i + \eta_0 \quad \dots \dots \dots (3)$$

ここで  $\eta_0$  は、完全重複波の動道中心上昇高と同様

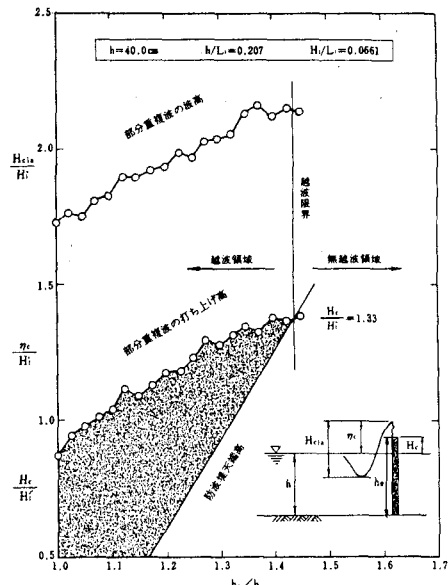


図-1 部分重複波のうろあげ高及波高

に次式で示される。

$$\eta_0 = (14.83 - 52.81 \frac{H_i}{L}) \frac{H_i^2}{L} \quad \dots \dots \dots (4)$$

従つて(2)式より、部分重複波のうねり高さ $\eta_c$ は次の式で与えられる。

$$\eta_c = (0.65 + 0.35 \frac{H_i}{H_e}) H_i + 0.05 \eta_0 \quad \dots \dots \dots (5)$$

ゆえに(1)式で示される部分重複波の波形式中の係数 $\alpha$ 、 $\beta$ は、次式となる。

$$\alpha = 0.45 + 0.35 \frac{H_i}{H_e}, \quad \beta = 0.05 \quad \dots \dots \dots (6)$$

このようにして得られた部分重複波の波形をチェックする目的で、まず、その式をもとに算定された波浪量と実測により得られた波浪量との比がいかう、越波量係数につけて討究を試みる。部分重複波の越波量算定では(4)式から次のように示される。

$$Q_{cal} = 2 \left\{ \frac{0.1 H_i L}{2\pi} \sin k_x c + \beta \eta_x c - H_e c \right\} \quad \dots \dots \dots (7)$$

これは、図-2中の天端高 $H_e$ より土位の波形の斜傾と計算上の越波量である。また、実測による部分重複波の1周期当たりの越波量を $Q_d$ とすれば越波量係数 $C$ は次式で示される。

$$C = \frac{Q_d}{Q_{cal}} \quad \dots \dots \dots (8)$$

この越波量係数 $C$ は、金属性の天端高による波形形状によつて支配されると考えられるので、部分重複波の波形の適合性とも関連するもので、金属性の天端高、相対水深、入射波の波形や配列の条件に対して系統的で検討の把握がござれば、波形の適合性の評議にもなる。そこで、越波量係数につけての実験結果をまとめたものが図-3である。これは、横軸に、金属性の天端高の無次元量、 $H_e/H_i$ と越波量係数 $C$ を示したもので、金属性の天端高が高くなるほど、多くのハラツキは認められるものの、平均的な上限で、 $C=0.29$ 、平均的な下限では $C=0.15$ 程度の値であるが、ほぼ一定値を取る傾向にある。そして、天端高が高い部分でハラツキがあるのは、天端高が高いため部分重複波のうねり高さが鋭くなり、実際の波形が、仮定した波形と異なるところがあるので、波のうねり高さによる波形の形態が波流の状態から飛沫となり、越波量とのものが減少するため、測定上の誤差が入ったものと考えられる。従つて、このような特例のケースを考慮するならば、越波量係数は、金属性の天端高や、入射波の特性より相対水深等に依存なく、一義的傾向を

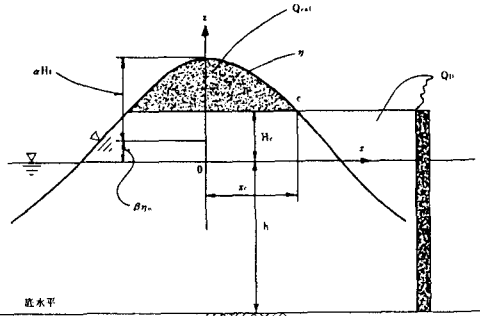


図-2 波形説明図。

示し、実験によつて得られたうねり高さに対する係数 $C$ を考慮して部分重複波の波形が、奥岸側波浪する波の波形に対して、かなりの適合性があるものと考えられる。一方、越波量係数の平均値 $C=0.22$ となり

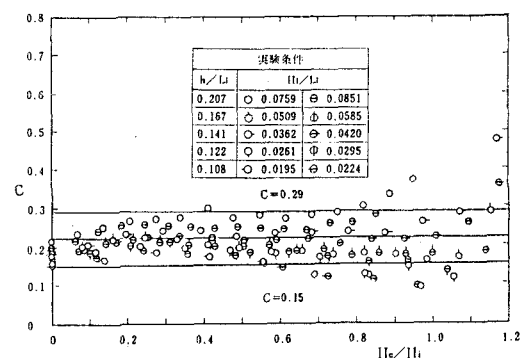


図-3. 天端高と越波量係数

やや少ないとひきこむが、これは、実際の越波量が、図-2で考へた波形の又軸より陸側半分の面積の44%を意味するものである。そして、これは、部分重複波が完全重複波に近い定常波とひきこむことによるものと考えられる。

以上のようすに、金属性の天端高による部分重複波につけて検討したが、空洞波形は(1)式と(6)式で示されるとこと、またその時の越波量は土位上の算定容積の約4倍となることなどが明らかとなつた。

### 参考文献

- 遠藤、治介、三津：越波のある場合の重複波の波頂高について、第2回海構論文集、pp.320-332, 1981
- 高田彰：有限振幅重複波の時間波形と越波量の相関特性、土木学会論文報告集 第201、1972-5、